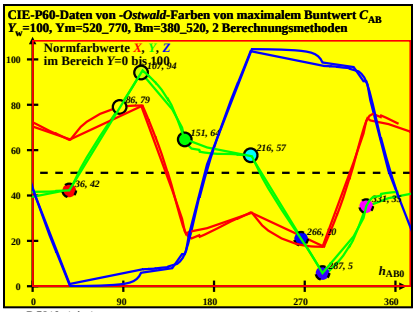
CIE-P60-Daten von -Ostwald-Farben von maximalem Buntwert C_{AB}
Y_w=100, Ym=520_770, Bm=380_520, 2 Berechnungsmethoden
Normfarbwerte X, Y, Z
im Bereich Y=0 bis 100
hAB0
DG210−1 A_1

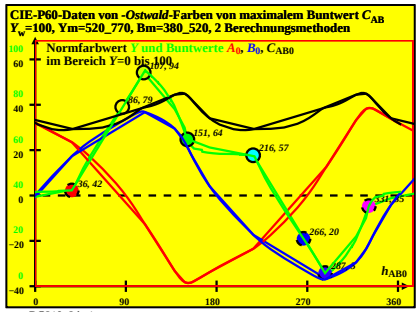
CIE-P60-Daten von -Ostwald-Farben von maximalem Buntwert C_{AB}
Y_w=100, Ym=520_770, Bm=380_520, 2 Berechnungsmethoden
Normfarbwert Y und Buntwerte A_0, B_0, C_{AB0}
im Bereich Y=0 bis 100
hAB0
DG210−2A_1

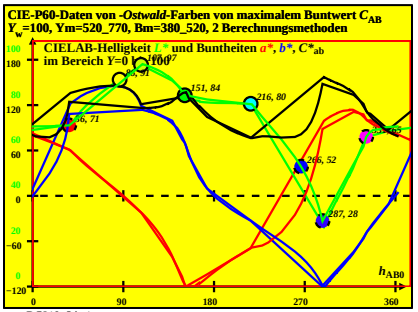
CIE-P60-Daten von -Ostwald-Farben von maximalem Buntwert C_{AB}
Y_w=100, Ym=520_770, Bm=380_520, 2 Berechnungsmethoden
CIELAB-Helligkeit L* und Buntheiten a*, b*, C*ab
im Bereich Y=0 bis 100
hAB0
DG210−3A_1

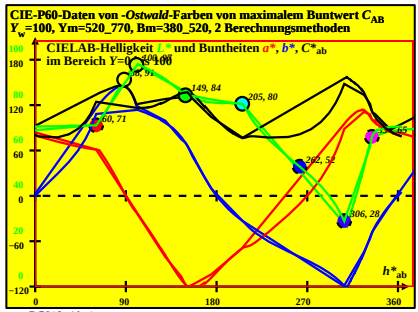
CIE-P60-Daten von -Ostwald-Farben von maximalem Buntwert C_{AB}
Y_w=100, Ym=520_770, Bm=380_520, 2 Berechnungsmethoden
CIELAB-Helligkeit L* und Buntheiten a*, b*, C*ab
im Bereich Y=0 bis 100
h*ab
DG210−4A_1

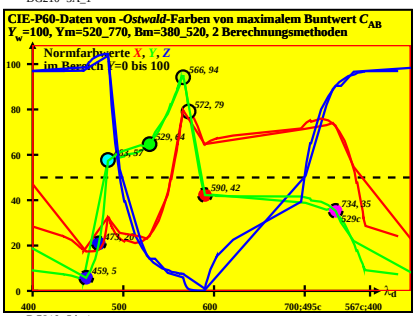
CIE-P60-Daten von -Ostwald-Farben von maximalem Buntwert C_{AB}
Y_w=100, Ym=520_770, Bm=380_520, 2 Berechnungsmethoden
Normfarbwerte X, Y, Z
im Bereich Y=0 bis 100
λd
DG210−5A_1

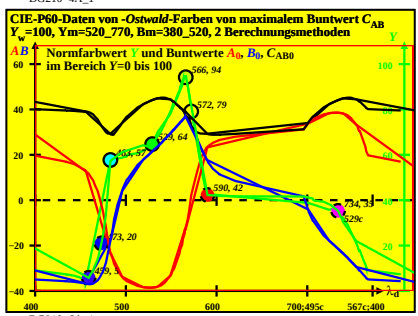
CIE-P60-Daten von -Ostwald-Farben von maximalem Buntwert C_{AB}
Y_w=100, Ym=520_770, Bm=380_520, 2 Berechnungsmethoden
Normfarbwert Y und Buntwerte A_0, B_0, C_{AB0}
im Bereich Y=0 bis 100
λd
DG210−6A_1

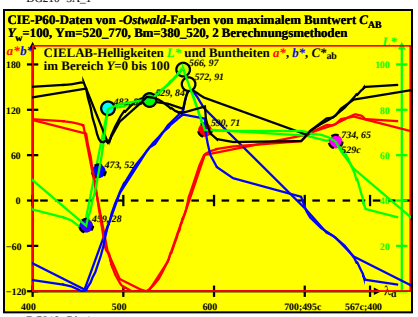
CIE-P60-Daten von -Ostwald-Farben von maximalem Buntwert C_{AB}
Y_w=100, Ym=520_770, Bm=380_520, 2 Berechnungsmethoden
CIELAB-Helligkeiten L* und Buntheiten a*, b*, C*ab
im Bereich Y=0 bis 100
λd
DG210−7A_1

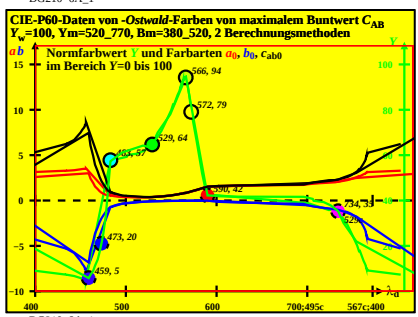
CIE-P60-Daten von -Ostwald-Farben von maximalem Buntwert C_{AB}
Y_w=100, Ym=520_770, Bm=380_520, 2 Berechnungsmethoden
Normfarbwert Y und Farbarten a_0, b_0, c_{ab0}
im Bereich Y=0 bis 100
λd
DG210−8A_1

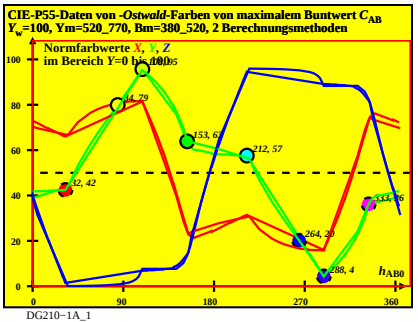
CIE-P55-Daten von -Ostwald-Farben von maximalem Buntwert C_{AB}
Y_w=100, Ym=520_770, Bm=380_520, 2 Berechnungsmethoden
Normfarbwerte X, Y, Z
im Bereich Y=0 bis 100
84, 79
153, 63
212, 57
42, 42
264, 20
288, 4
h_{AB0}
DG210−1A_1

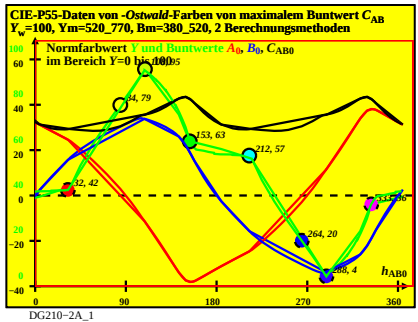
CIE-P55-Daten von -Ostwald-Farben von maximalem Buntwert C_{AB}
Y_w=100, Ym=520_770, Bm=380_520, 2 Berechnungsmethoden
Normfarbwert Y und Buntwerte A_{b0}, B_{b0}, C_{AB0}
im Bereich Y=0 bis 100
84, 79
153, 63
212, 57
42, 42
264, 20
288, 4
h_{AB0}
DG210−2A_1

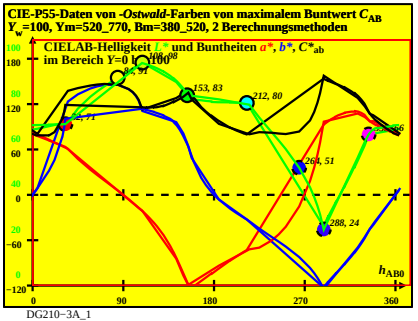
CIE-P55-Daten von -Ostwald-Farben von maximalem Buntwert C_{AB}
Y_w=100, Ym=520_770, Bm=380_520, 2 Berechnungsmethoden
CIELAB-Helligkeit L^* und Buntheiten a^*, b^*, C^*_{ab}
im Bereich Y=0 bis 100
153, 83
212, 80
258, 51
288, 24
h_{AB0}
DG210−3A_1

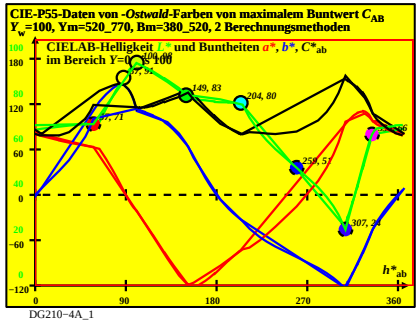
CIE-P55-Daten von -Ostwald-Farben von maximalem Buntwert C_{AB}
Y_w=100, Ym=520_770, Bm=380_520, 2 Berechnungsmethoden
CIELAB-Helligkeit L^* und Buntheiten a^*, b^*, C^*_{ab}
im Bereich Y=0 bis 100
149, 83
204, 80
258, 51
307, 24
h^*_{ab}
DG210−4A_1

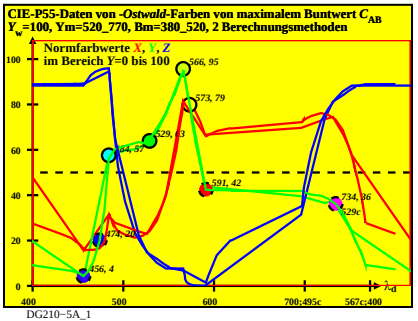
CIE-P55-Daten von -Ostwald-Farben von maximalem Buntwert C_{AB}
Y_w=100, Ym=520_770, Bm=380_520, 2 Berechnungsmethoden
Normfarbwerte X, Y, Z
im Bereich Y=0 bis 100
566, 95
573, 79
529, 63
554, 57
591, 42
734, 36
529c
474, 20
456, 4
λ_d
DG210−5A_1

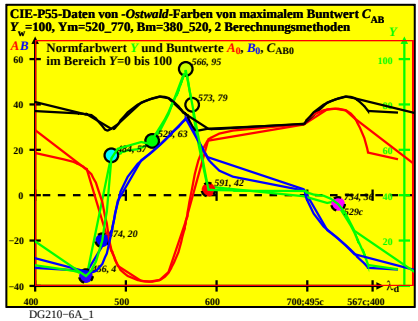
CIE-P55-Daten von -Ostwald-Farben von maximalem Buntwert C_{AB}
Y_w=100, Ym=520_770, Bm=380_520, 2 Berechnungsmethoden
Normfarbwert Y und Buntwerte A_{b0}, B_{b0}, C_{AB0}
im Bereich Y=0 bis 100
566, 95
573, 79
529, 63
554, 57
591, 42
734, 36
529c
474, 20
456, 4
λ_d
DG210−6A_1

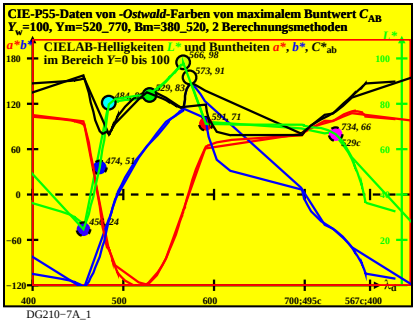
CIE-P55-Daten von -Ostwald-Farben von maximalem Buntwert C_{AB}
Y_w=100, Ym=520_770, Bm=380_520, 2 Berechnungsmethoden
CIELAB-Helligkeiten L^* und Buntheiten a^*, b^*, C^*_{ab}
im Bereich Y=0 bis 100
566, 98
573, 91
529, 83
554, 71
734, 66
529c
474, 51
456, 24
λ_d
DG210−7A_1

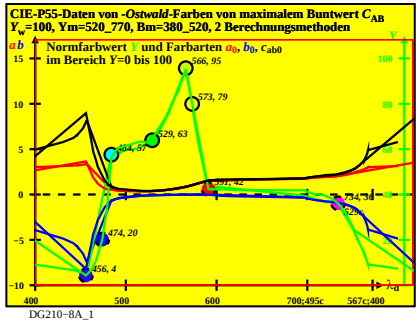
CIE-P55-Daten von -Ostwald-Farben von maximalem Buntwert C_{AB}
Y_w=100, Ym=520_770, Bm=380_520, 2 Berechnungsmethoden
Normfarbwert Y und Farbarten a_{b0}, b_{b0}, c_{ab0}
im Bereich Y=0 bis 100
566, 95
573, 79
529, 63
554, 57
591, 42
734, 36
529c
474, 20
456, 4
λ_d
DG210−8A_1

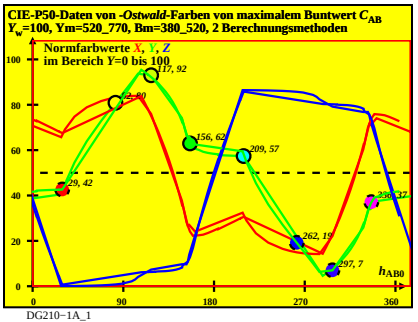
CIE-P50-Daten von -Ostwald-Farben von maximalem Buntwert C_{AB}
Y_w=100, Ym=520_770, Bm=380_520, 2 Berechnungsmethoden
Normfarbwerte X, Y, Z
im Bereich Y=0 bis 100
117, 92
82, 80
156, 62
209, 57
29, 42
262, 19
297, 7
h_{AB0}
DG210−1A_1

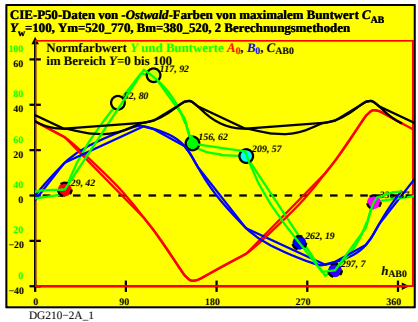
CIE-P50-Daten von -Ostwald-Farben von maximalem Buntwert C_{AB}
Y_w=100, Ym=520_770, Bm=380_520, 2 Berechnungsmethoden
Normfarbwert Y und Buntwerte A_0, B_0, C_{AB0}
im Bereich Y=0 bis 100
117, 92
82, 80
156, 62
209, 57
29, 42
262, 19
297, 7
h_{AB0}
DG210−2A_1

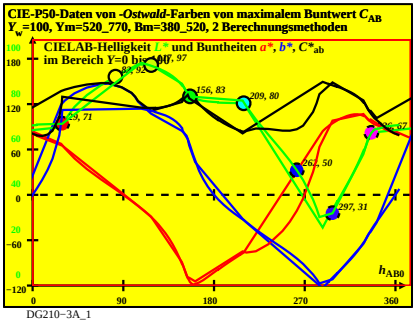
CIE-P50-Daten von -Ostwald-Farben von maximalem Buntwert C_{AB}
Y_w=100, Ym=520_770, Bm=380_520, 2 Berechnungsmethoden
CIELAB-Helligkeit L^* und Buntheiten a^*, b^*, C^*_{ab}
im Bereich Y=0 bis 100
84, 92
156, 83
209, 80
29, 71
262, 50
297, 31
h_{AB0}
DG210−3A_1

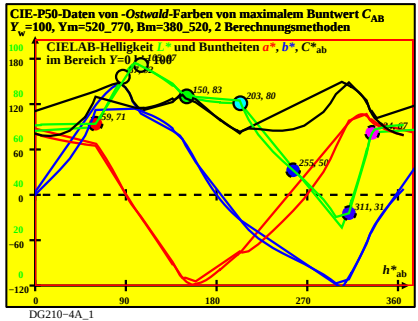
CIE-P50-Daten von -Ostwald-Farben von maximalem Buntwert C_{AB}
Y_w=100, Ym=520_770, Bm=380_520, 2 Berechnungsmethoden
CIELAB-Helligkeit L^* und Buntheiten a^*, b^*, C^*_{ab}
im Bereich Y=0 bis 100
84, 92
150, 83
203, 80
29, 71
255, 50
311, 31
h^*_{ab}
DG210−4A_1

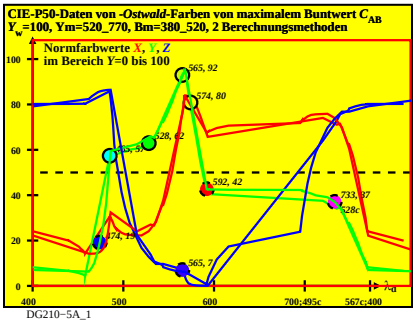
CIE-P50-Daten von -Ostwald-Farben von maximalem Buntwert C_{AB}
Y_w=100, Ym=520_770, Bm=380_520, 2 Berechnungsmethoden
Normfarbwerte X, Y, Z
im Bereich Y=0 bis 100
565, 92
574, 80
528, 62
485, 57
592, 42
733, 37
528c
474, 19
565, 7
400
500
600
700;495c
567c;400
λ_d
DG210−5A_1

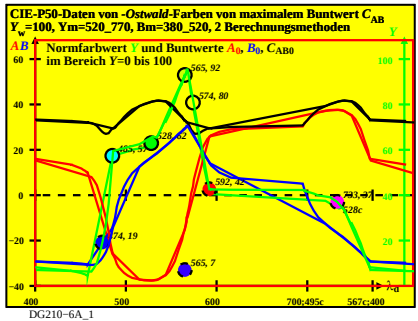
CIE-P50-Daten von -Ostwald-Farben von maximalem Buntwert C_{AB}
Y_w=100, Ym=520_770, Bm=380_520, 2 Berechnungsmethoden
Normfarbwert Y und Buntwerte A_0, B_0, C_{AB0}
im Bereich Y=0 bis 100
565, 92
574, 80
528, 62
485, 57
592, 42
733, 37
528c
474, 19
565, 7
400
500
600
700;495c
567c;400
λ_d
DG210−6A_1

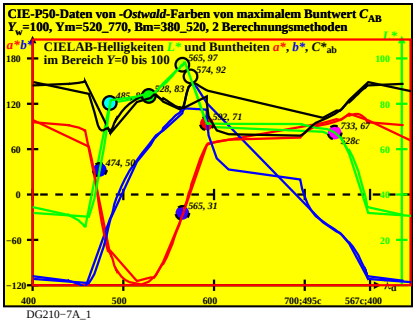
CIE-P50-Daten von -Ostwald-Farben von maximalem Buntwert C_{AB}
Y_w=100, Ym=520_770, Bm=380_520, 2 Berechnungsmethoden
CIELAB-Helligkeiten L^* und Buntheiten a^*, b^*, C^*_{ab}
im Bereich Y=0 bis 100
565, 97
574, 92
485, 57
528, 83
592, 71
733, 67
528c
474, 54
565, 31
400
500
600
700;495c
567c;400
λ_d
DG210−7A_1

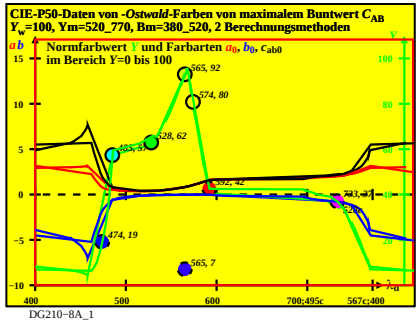
CIE-P50-Daten von -Ostwald-Farben von maximalem Buntwert C_{AB}
Y_w=100, Ym=520_770, Bm=380_520, 2 Berechnungsmethoden
Normfarbwert Y und Farbarten a_0, b_0, c_{ab0}
im Bereich Y=0 bis 100
565, 92
574, 80
528, 62
485, 57
592, 42
733, 37
528c
474, 19
565, 7
400
500
600
700;495c
567c;400
λ_d
DG210−8A_1

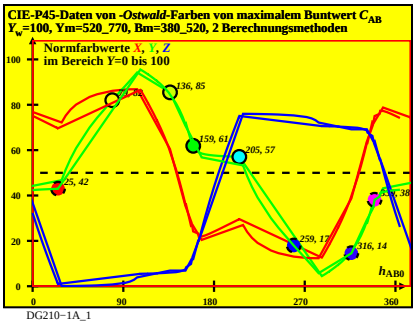
CIE-P45-Daten von -Ostwald-Farben von maximalem Buntwert C_{AB}
Y_w=100, Ym=520_770, Bm=380_520, 2 Berechnungsmethoden
Normfarbwerte X, Y, Z
im Bereich Y=0 bis 100
136, 85
159, 61
205, 57
25, 42
259, 17
316, 14
h_{AB0}
DG210−1A_1

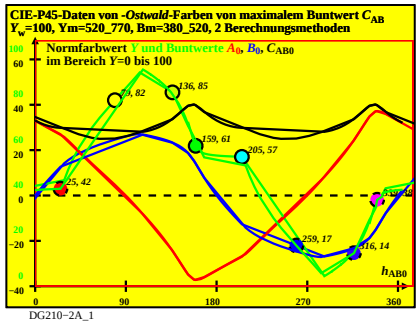
CIE-P45-Daten von -Ostwald-Farben von maximalem Buntwert C_{AB}
Y_w=100, Ym=520_770, Bm=380_520, 2 Berechnungsmethoden
Normfarbwert Y und Buntwerte A_{b0}, B_{b0}, C_{AB0}
im Bereich Y=0 bis 100
136, 85
159, 61
205, 57
25, 42
259, 17
316, 14
h_{AB0}
DG210−2A_1

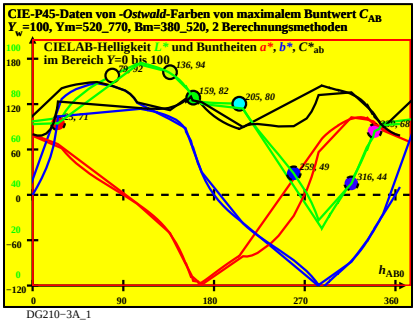
CIE-P45-Daten von -Ostwald-Farben von maximalem Buntwert C_{AB}
Y_w=100, Ym=520_770, Bm=380_520, 2 Berechnungsmethoden
CIELAB-Helligkeit L^* und Buntheiten a^*, b^*, C^*_{ab}
im Bereich Y=0 bis 100
136, 94
159, 82
205, 80
259, 49
316, 44
h_{AB0}
DG210−3A_1

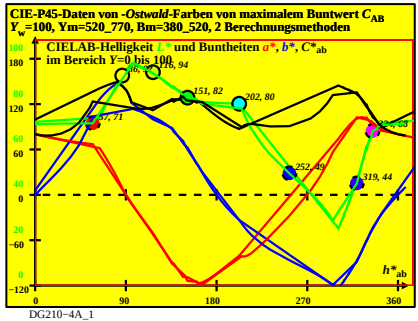
CIE-P45-Daten von -Ostwald-Farben von maximalem Buntwert C_{AB}
Y_w=100, Ym=520_770, Bm=380_520, 2 Berechnungsmethoden
CIELAB-Helligkeit L^* und Buntheiten a^*, b^*, C^*_{ab}
im Bereich Y=0 bis 100
136, 94
151, 82
202, 80
252, 49
319, 44
h^*_{ab}
DG210−4A_1

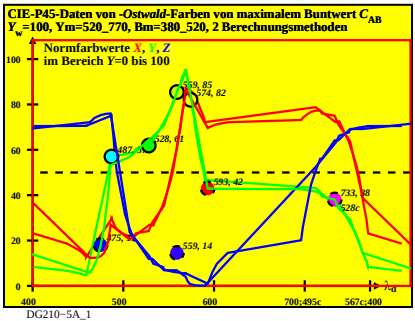
CIE-P45-Daten von -Ostwald-Farben von maximalem Buntwert C_{AB}
Y_w=100, Ym=520_770, Bm=380_520, 2 Berechnungsmethoden
Normfarbwerte X, Y, Z
im Bereich Y=0 bis 100
559, 85
574, 82
528, 61
487, 30
593, 42
733, 38
528c
475, 17
559, 14
λ_d
DG210−5A_1

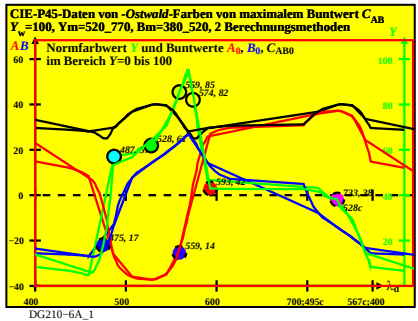
CIE-P45-Daten von -Ostwald-Farben von maximalem Buntwert C_{AB}
Y_w=100, Ym=520_770, Bm=380_520, 2 Berechnungsmethoden
Normfarbwert Y und Buntwerte A_{b0}, B_{b0}, C_{AB0}
im Bereich Y=0 bis 100
559, 85
574, 82
528, 61
487, 30
593, 42
733, 38
528c
475, 17
559, 14
λ_d
DG210−6A_1

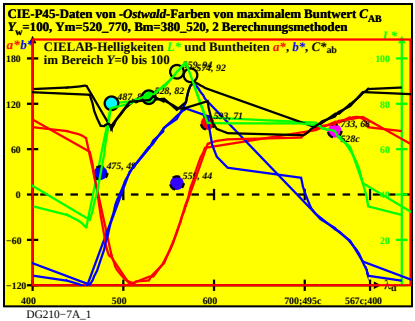
CIE-P45-Daten von -Ostwald-Farben von maximalem Buntwert C_{AB}
Y_w=100, Ym=520_770, Bm=380_520, 2 Berechnungsmethoden
CIELAB-Helligkeiten L^* und Buntheiten a^*, b^*, C^*_{ab}
im Bereich Y=0 bis 100
559, 94
528, 82
593, 71
733, 68
528c
475, 49
559, 44
λ_d
DG210−7A_1

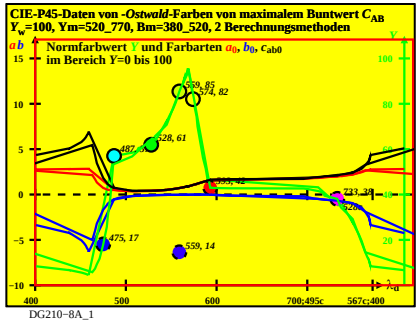
CIE-P45-Daten von -Ostwald-Farben von maximalem Buntwert C_{AB}
Y_w=100, Ym=520_770, Bm=380_520, 2 Berechnungsmethoden
Normfarbwert Y und Farbarten a_{b0}, b_{b0}, c_{ab0}
im Bereich Y=0 bis 100
559, 85
574, 82
528, 61
487, 30
593, 42
733, 38
528c
475, 17
559, 14
λ_d
DG210−8A_1

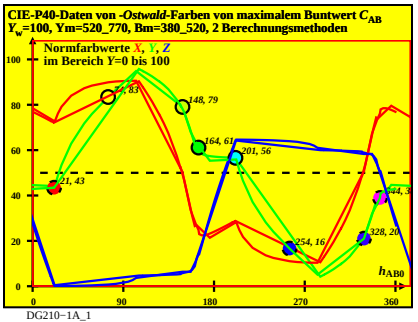

DG210−1A_1

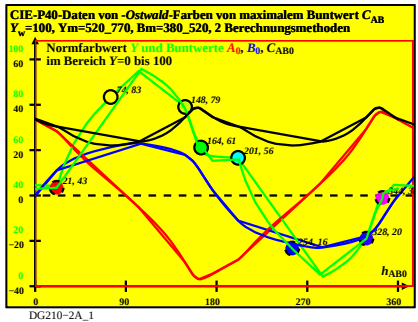

DG210−2A_1

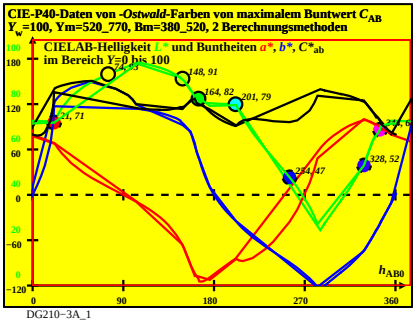

DG210−3A_1

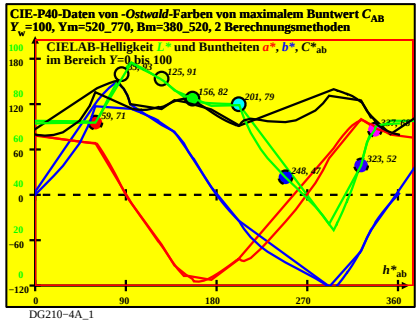

DG210−4A_1

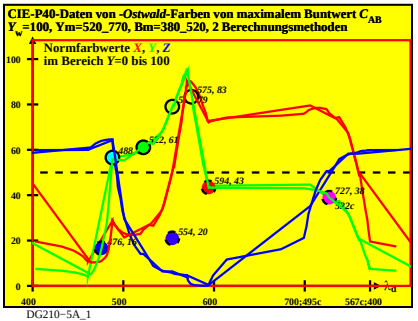

DG210−5A_1

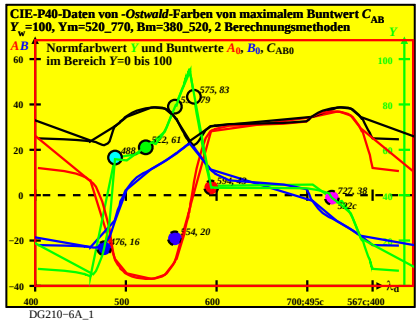

DG210−6A_1

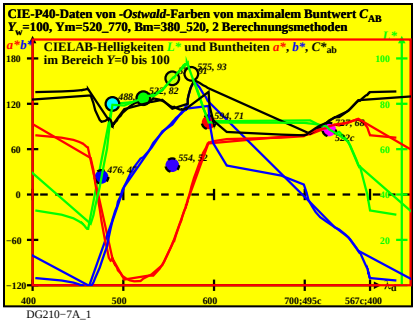

DG210−7A_1

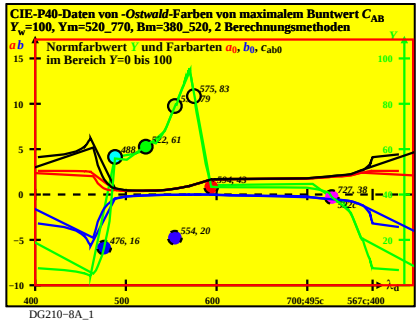

DG210−8A_1

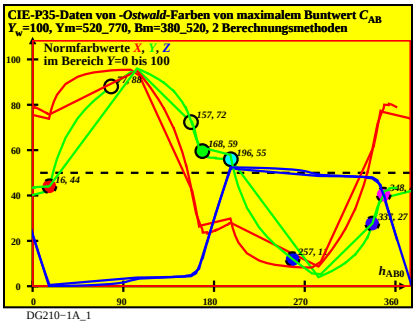

DG210−1A_1

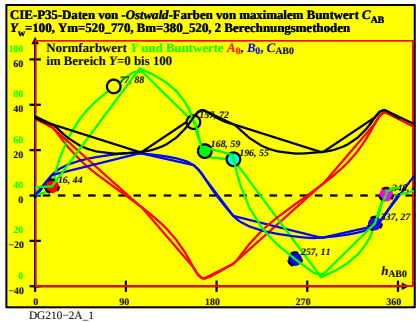

DG210−2A_1

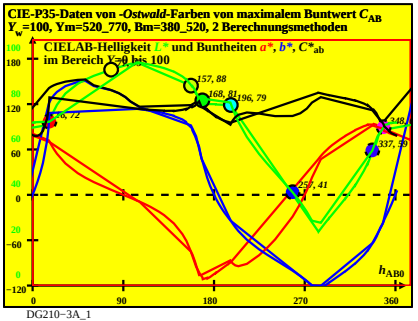

DG210−3A_1

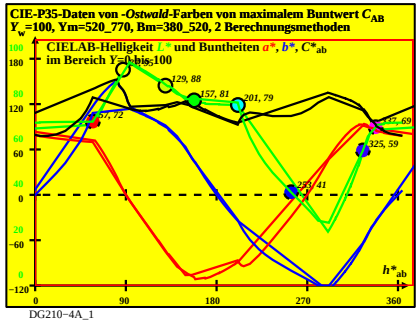

DG210−4A_1

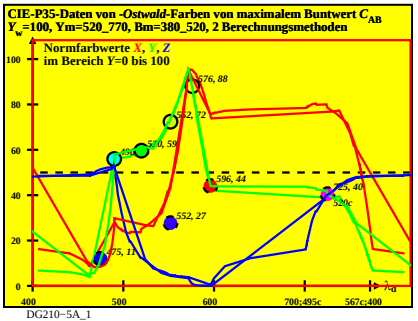

DG210−5A_1

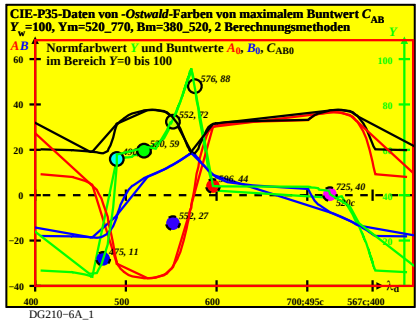

DG210−6A_1

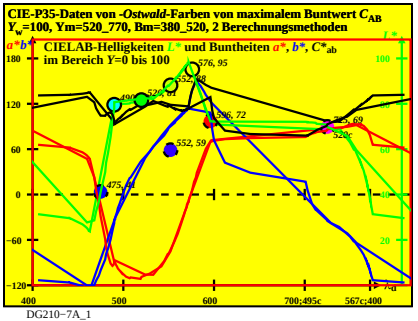

DG210−7A_1

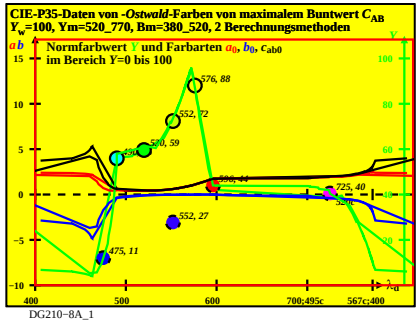

DG210−8A_1

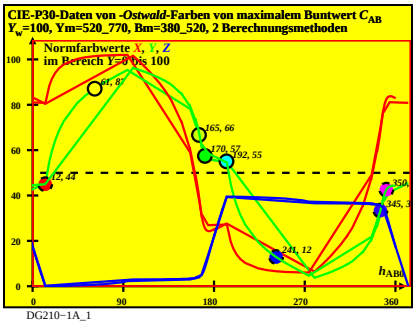

DG210−1A_1

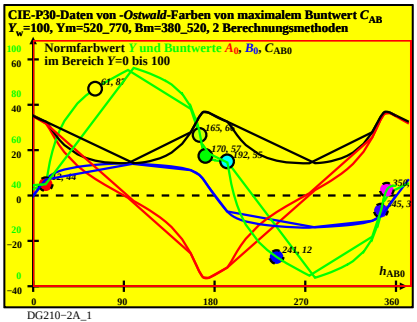

DG210−2A_1

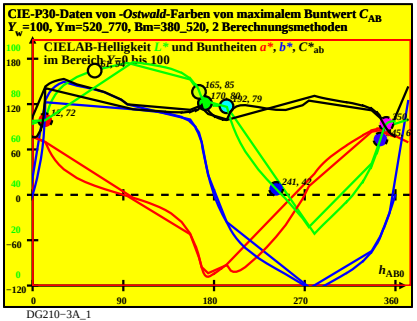

DG210−3A_1

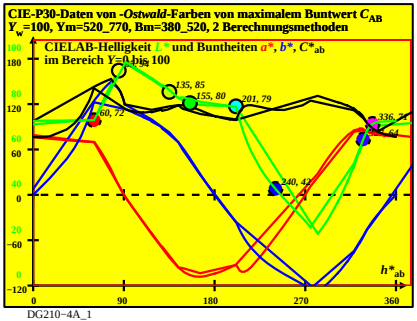

DG210−4A_1

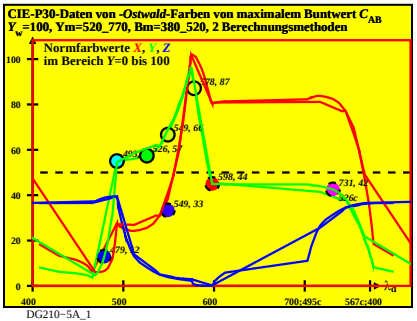

DG210−5A_1

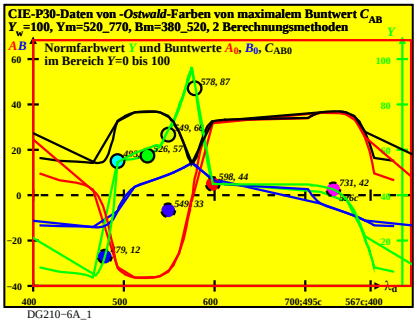

DG210−6A_1

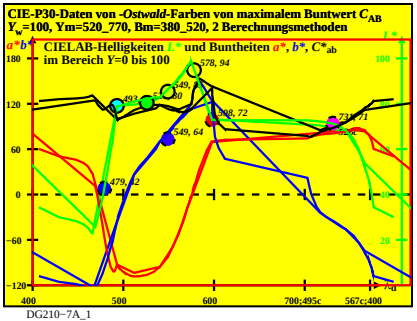

DG210−7A_1

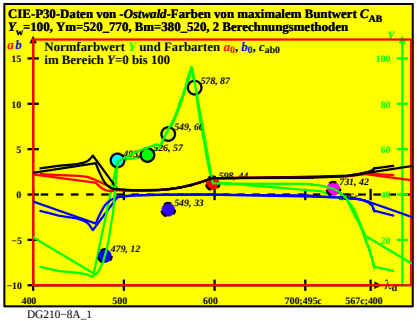

DG210−8A_1

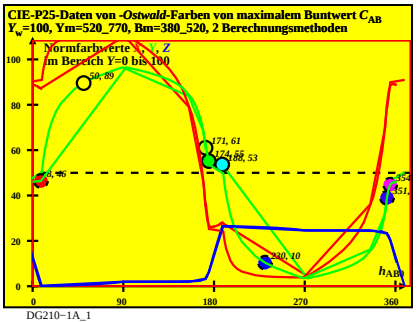
CIE-P25-Daten von -Ostwald-Farben von maximalem Buntwert C_{AB}
Y_w=100, Ym=520_770, Bm=380_520, 2 Berechnungsmethoden
Normfarbwerte X, Y, Z
im Bereich Y=0 bis 100
56, 89
171, 61
174, 58
168, 53
354
351
230, 10
h_{AB0}
DG210−1A_1

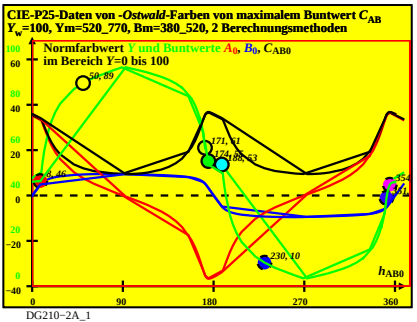
CIE-P25-Daten von -Ostwald-Farben von maximalem Buntwert C_{AB}
Y_w=100, Ym=520_770, Bm=380_520, 2 Berechnungsmethoden
Normfarbwert Y und Buntwerte A_{b0}, B_{b0}, C_{AB0}
im Bereich Y=0 bis 100
56, 89
171, 61
174, 58
168, 53
354
351
230, 10
h_{AB0}
DG210−2A_1

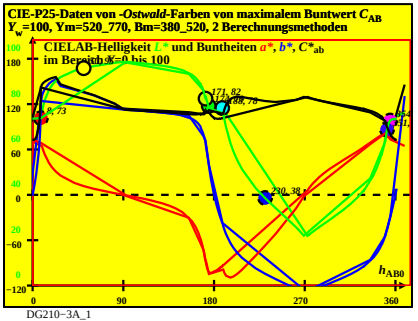
CIE-P25-Daten von -Ostwald-Farben von maximalem Buntwert C_{AB}
Y_w=100, Ym=520_770, Bm=380_520, 2 Berechnungsmethoden
CIELAB-Helligkeit L* und Buntheiten a*, b*, C*ab
im Bereich Y=0 bis 100
171, 82
174, 78
168, 73
354
351
230, 38
h_{AB0}
DG210−3A_1

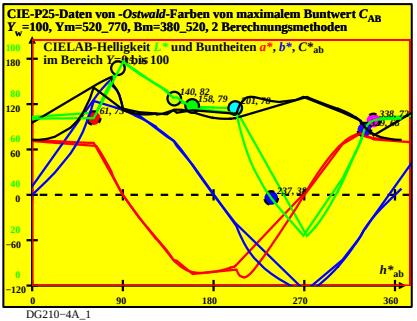
CIE-P25-Daten von -Ostwald-Farben von maximalem Buntwert C_{AB}
Y_w=100, Ym=520_770, Bm=380_520, 2 Berechnungsmethoden
CIELAB-Helligkeit L* und Buntheiten a*, b*, C*ab
im Bereich Y=0 bis 100
140, 82
138, 79
401, 78
338, 77
337, 38
h^*_{ab}
DG210−4A_1

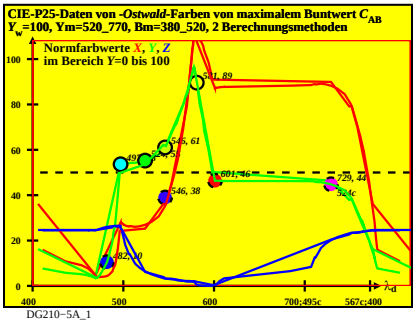
CIE-P25-Daten von -Ostwald-Farben von maximalem Buntwert C_{AB}
Y_w=100, Ym=520_770, Bm=380_520, 2 Berechnungsmethoden
Normfarbwerte X, Y, Z
im Bereich Y=0 bis 100
581, 89
546, 61
601, 46
729, 44
546, 38
482, 10
λ_d
DG210−5A_1

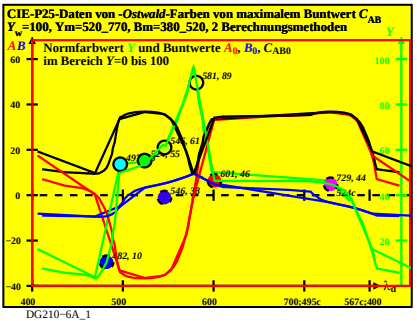
CIE-P25-Daten von -Ostwald-Farben von maximalem Buntwert C_{AB}
Y_w=100, Ym=520_770, Bm=380_520, 2 Berechnungsmethoden
Normfarbwert Y und Buntwerte A_{b0}, B_{b0}, C_{AB0}
im Bereich Y=0 bis 100
581, 89
546, 61
601, 46
729, 44
546, 38
482, 10
λ_d
DG210−6A_1

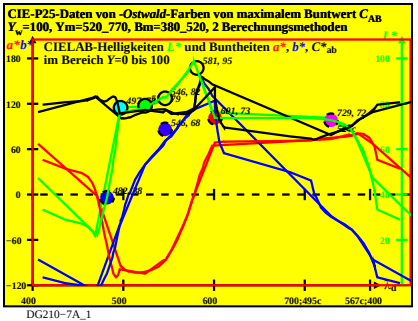
CIE-P25-Daten von -Ostwald-Farben von maximalem Buntwert C_{AB}
Y_w=100, Ym=520_770, Bm=380_520, 2 Berechnungsmethoden
CIELAB-Helligkeiten L* und Buntheiten a*, b*, C*ab
im Bereich Y=0 bis 100
581, 95
546, 68
601, 73
729, 72
482, 48
λ_d
DG210−7A_1

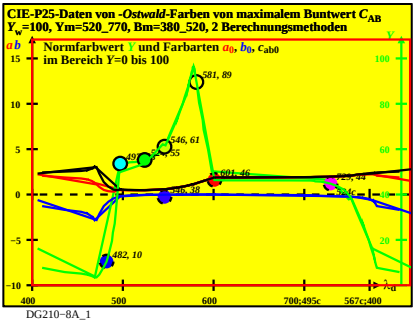
CIE-P25-Daten von -Ostwald-Farben von maximalem Buntwert C_{AB}
Y_w=100, Ym=520_770, Bm=380_520, 2 Berechnungsmethoden
Normfarbwert Y und Farbarten a_{b0}, b_{b0}, c_{ab0}
im Bereich Y=0 bis 100
581, 89
546, 61
601, 46
729, 44
546, 38
482, 10
λ_d
DG210−8A_1